

DRITTER ABSCHNITT.

MATHEMATISCHE TAFELN.

§. 245.

Curven-, Flächen- und Körpertafeln.

Die folgenden Tafeln enthalten in übersichtlicher Zusammenstellung die für den Maschinenbauer wichtigsten geometrischen und mechanischen Eigenschaften einer Reihe von gebräuchlichen Curven, der von ihnen umschlossenen Flächen und einfachen Körpern. Die den Figuren beigeschriebenen Bezeichnungen erklären die Buchstaben der Formeln. Zu bemerken möchte indessen folgendes sein.

Bei der Streckung (Rectification) der Curven ist s die Länge des Curvenstückes vom Anfang bis zum Punkte xy , beziehlich φ , S die ganze Länge der Curve.

Bei den Trägheitsmomenten wurde die Massendichtigkeit $= 1$ gesetzt, um nutzlose Häufung der Buchstaben zu vermeiden. Um eine grössere Uebersichtlichkeit der Sätze aus der so wichtigen Trägheitsmomentenlehre zu ermöglichen, wurden einige vereinfachende Anschauungen durchgeführt. Die angegebenen Trägheitsmomente der Flächen zerfallen in äquatoriale und polare, jenachdem die Momenten-Achse gelegen ist. Diese heisst nämlich eine äquatoriale Achse, wenn sie in der Ebene der Fläche gelegen ist, und eine polare, wenn sie zu derselben senkrecht steht. Jede äquatoriale Achse, welche durch den Schwerpunkt der Fläche geht, heisst insbesondere eine Aequatorachse, während die durch den Schwerpunkt gehende polare Achse insbesondere Polachse heisst. Eine Fläche hat nur eine Pol-

achse, dagegen unendlich viele Aequatorachsen. Entsprechend ihren Achsen sind nun die Trägheitsmomente in äquatoriale und polare getheilt.

Man findet das Trägheitsmoment J_p einer Fläche zu irgend einer polaren Achse durch Addition der beiden äquatorialen Trägheitsmomente J_{q_1} und J_{q_2} , deren Achsen sich in der polaren Achse rechtwinklig schneiden:

$$J_p = J_{q_1} + J_{q_2} \dots \dots \dots \quad (297)$$

Ferner findet sich das Trägheitsmoment J' einer Fläche zu irgend einer Achse, welche vom Schwerpunkt S der Fläche um a absteht, aus dem Trägheitsmoment J zu der parallelen durch S gehenden Achse mittelst des Ausdruckes:

$$J' = J + a^2 F \dots \dots \dots \quad (298)$$

wenn F noch den Inhalt der Fläche bezeichnet. Dieser Satz gilt auch für Körper, wenn man statt F die Masse des Körpers einführt.

Bei den Körpern wurde eine der vorstehenden ganz entsprechende Eintheilung eingehalten. In jedem der behandelten Körpergebilde ist eine der Hauptachsen, welche durch die Schwerpunkte aller zu ihr normalen Querschnitte geht, als Polachse, und der darauf rechtwinklige Schnitt durch den Schwerpunkt als Aequatorschnitt aufgefasst, wonach sich die äquatorialen und polaren Trägheitsmomente wieder je nach der Lage ihrer Achsen zum Aequatorschnitt unterscheiden. In allen hier angegebenen Beispielen für die Körper sind die Achsen stets wirkliche Aequator- und Polachsen.

Für ein gerades Prisma mit beliebiger Grundfläche, deren polares Trägheitsmoment i_p und dessen halbe Höhe $= l$ ist, ist das polare Trägheitsmoment:

$$J_p = 2li_p \dots \dots \dots \quad (299)$$

und das Trägheitsmoment zu einer Aequatorachse:

$$J_q = \frac{2}{3}fl^3 + 2li_q \dots \dots \dots \quad (300)$$

wenn noch f den Flächeninhalt des Querschnittes, und i_q dessen äquatoriales Trägheitsmoment zu derselben Achse bezeichnet, für welche J_q gilt.

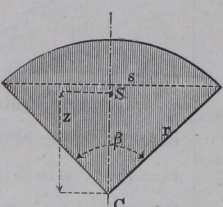
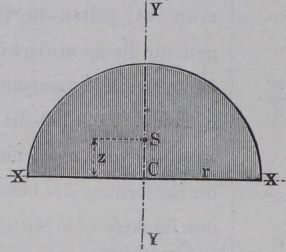
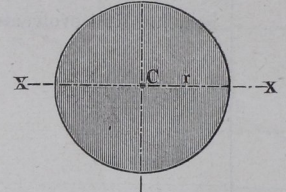
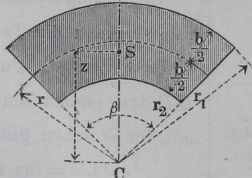
Die Schwerpunkte und Trägheitsmomente zu Flächen von unregelmässigen Formen lassen sich mit Hilfe der graphischen Statik in vielen Fällen bequem und recht genau (numerisch) finden. Das Verfahren ist aus den in Kapitel V. behandelten Aufgaben ableitbar, und besteht in einer wiederholten Anwendung des Kräfte- und Seilpolygones.

Nro.	Curve.	Parallelgleichung.	Verschiedene Eigenschaften.
I. Kreis.		Allgemein (aus O): $(x-a)^2 + (y-b)^2 = r^2$ Scheitelgleichung (aus S): $y^2 = 2rx - x^2$. Mittelpunktsgleichung (aus M): $x^2 + y^2 = r^2$.	Annähernd, wenn $\frac{x}{y}$ klein: $\frac{r}{y} = \frac{y}{2x}$.
II. Parabel.		Scheitelgleichung (aus S): $y^2 = 2px$.	Halbparameter = p $AS = SF = \frac{p}{2}$. LL Leitlinie. F Brennpunkt.
III. Ellipse.		Mittelpunktsgleichung (aus M): $y^2 a^2 + x^2 b^2 = a^2 b^2$. Scheitelgleichung (aus S): $y^2 = \left(\frac{b}{a}\right)^2 (2ax - x^2)$ $y^2 = 2px - \frac{p}{a}x^2$.	Excentricität: lineare = $e = \sqrt{a^2 - b^2}$ numerische $\epsilon = \frac{e}{a}$ Halbparameter: $p = a(1 - \epsilon^2) = \frac{b^2}{a}$
IV. Hyperbel.		Mittelpunktsgleichung (aus O): $-y^2 a^2 + x^2 b^2 = a^2 b^2$.	Excentricität: lineare = $OF = e = \sqrt{a^2 + b^2}$ numerische $\epsilon = \frac{e}{a}$ Achse b = $a\sqrt{\epsilon^2 - 1}$ Halbparameter: $p = a(\epsilon^2 - 1) = \frac{b^2}{a}$
V. Kettenlinie.		Aus O: $y = \frac{c}{2} \left(e^{\frac{x}{c}} + e^{-\frac{x}{c}} \right)$	$\operatorname{tg} \varphi = \frac{l}{c} = \sqrt{\frac{h^2 + 2h}{c^2}}$ LL Leitlinie.

Polargleichung.	Krümmungshalbmesser.	Streckung (Rectification).
Allgemein (aus O): $\varrho^2 + f^2 - 2\varrho f \cos \varphi = r^2$. Aus dem Scheitel S : $\varrho = 2r \cos \varphi$.	$\varrho = r$.	$s = r\varphi$ $S = 2r\pi$.
Aus F : $r = \frac{p}{2} + x$ $r = \frac{p}{2 \sin^2 \frac{\varphi}{2}}$	$\varrho = p \sqrt{\left(1 + \frac{2x}{p}\right)^3}$.	$s = \frac{p}{2} \left[\sqrt{\frac{2x}{p}} \left(1 + \frac{2x}{p}\right) + \log. nat. \left(\sqrt{\frac{2x}{p}} + \sqrt{1 + \frac{2x}{p}} \right) \right]$. Annähernd bei kleinem $\frac{x}{y}$: $s = y \left[1 + \frac{2}{3} \left(\frac{x}{y}\right)^2 - \frac{2}{5} \left(\frac{x}{y}\right)^4 \right]$.
Aus F : $r = p + \varepsilon x = \frac{a^2 - e^2}{a - e \cos \varphi}$ $= \frac{p}{1 - \varepsilon \cos \varphi}$. Fahrstrahlen: $r = a + \varepsilon x, r' = a - \varepsilon x$.	$\varrho = \frac{(rr_1)^{3/2}}{ab}$. Für S ist: $\varrho = \frac{b^2}{a}$, für A : $\varrho = \frac{a^2}{b}$.	$S = (a+b) \left(1 + \frac{n^2}{4} + \frac{n^4}{64} + \frac{n^6}{256} + \dots\right)$, wobei $n = \frac{a-b}{a+b}$.
Aus F : $r = p + \varepsilon x = \frac{e^2 - a^2}{a - e \cos \varphi}$ $= \frac{p}{1 - \varepsilon \cos \varphi}$. Fahrstrahlen: $r = \varepsilon x - a, r' = \varepsilon x + a$.	$\varrho = \frac{(a^4 y^2 + b^4 x^2)^{3/2}}{a^4 b^4}$.	Sehr verwickelt.
-	$\varrho = \frac{y^2}{c}$.	$s = \frac{c}{2} \left(e^{\frac{x}{c}} - e^{-\frac{x}{c}} \right)$ $= V_{y^2 - c^2}, l = V_{h^2 + 2hc}$.

Nro.	Curve.	Gleichung.
XII. Logarithmische Spirale.		$x = r \left(\omega - \frac{r'}{r} \sin \omega \right)$ $y = r \left(1 - \frac{r'}{r} \cos \omega \right).$
XI. Archimedische Spirale.		$x = (R + r) \cos \frac{r}{R} \omega - r' \cos \frac{R+r}{R} \omega$ $y = (R + r) \sin \frac{r}{R} \omega - r' \sin \frac{R+r}{R} \omega$
VIII. Hypocycloide oder Inradline.		$x = (R - r) \cos \frac{r}{R} \omega + r' \cos \frac{R-r}{R} \omega$ $y = (R - r) \sin \frac{r}{R} \omega - r' \sin \frac{R-r}{R} \omega$
IX. Pericycloide oder Umradlinie.		$x = (r - R) \cos \frac{r}{R} \omega - r' \cos \frac{r-R}{R} \omega$ $y = (r - R) \sin \frac{r}{R} \omega - r' \sin \frac{r-R}{R} \omega$
X. Kreisvolvente oder Fadenlinie.		$x = R' \cos \vartheta + R \vartheta \sin \vartheta$ $y = R' \sin \vartheta - R \vartheta \cos \vartheta.$
		$r = a \omega = R \frac{\omega}{2\pi}$
		$r = a^\omega.$

Streckung (Rectification).	Krümmungshalbmesser.	Bemerkungen.
$s = 4r \left(1 - \cos \frac{\omega}{2}\right)$ $S = 8r.$	$\varrho = 4r \sin \frac{\omega}{2}.$	
$s = 4r \frac{R+r}{R} \left(1 - \cos \frac{\omega}{2}\right)$ $S = 8r \frac{R+r}{R}.$	$\varrho = 4r \frac{R+r}{R+2r} \sin \frac{\omega}{2}.$	
$s = 4r \frac{R-r}{R} \left(1 - \cos \frac{\omega}{2}\right)$ $S = 8r \frac{R-r}{R}.$	$\varrho = 4r \frac{R-r}{R-2r} \sin \frac{\omega}{2}.$	
$s = 4r \frac{r-R}{R} \left(1 - \cos \frac{\omega}{2}\right)$ $S = 8r \frac{r-R}{R}.$	$\varrho = 4r \frac{r-R}{2r-R} \sin \frac{\omega}{2}.$	
$s = \frac{R\vartheta}{2} \vartheta.$	$\varrho = R\vartheta.$	
$s = \frac{\omega}{4\pi} \sqrt{1 + \omega^2}$ $+ \frac{1}{2} \log. nat. (\omega + \sqrt{1 + \omega^2}).$	$\varrho = \frac{(r^2 + a^2)^{3/2}}{2(r^2 + 2a^2)}.$	
$s = r \frac{\sqrt{1 + (\log. nat. a)^2}}{\log. nat. a}$	$\varrho = r \sqrt{1 + (\log. nat. a)^2}$ $= \frac{r}{\sin \alpha},$ wobei $\cotg. \alpha = \log. nat. a.$	Bei der logarithmischen Spire schliesst die Tangente an einen beliebigen Punkt P mit OP den constanten Winkel α ein, für welchen gilt: $\cotg. \alpha = \log. nat. a.$

Nro.	Form.	Flächeninhalt.
XIII. Kreisausschnitt.		$F = r^2 \frac{\beta}{2}$.
XIV. Halbkreis.		$F = \frac{r^2 \pi}{2}.$
XV. Kreis.		$F = r^2 \pi.$
XVI. Kreisringstück.		$\begin{aligned}F &= (r_1^2 - r_2^2) \frac{\beta}{2} \\&= b r \beta.\end{aligned}$

Schwerpunktlage.	Trägheitsmomente.
$z = \frac{4}{3} r \frac{\sin \frac{\beta}{2}}{\beta}$ $= \frac{s r^2}{3 F}.$	<p>Zur polaren Achse im Mittelpunkte C:</p> $J_c = \frac{\mu}{\beta} r^2 = \frac{r^4 \beta}{4}.$ <p>Zur Polachse im Schwerpunkte S:</p> $J_s = \frac{\mu}{2} r^2 \left(1 - \frac{1 - \cos \beta}{\beta^2}\right) = \frac{r^4}{4} \left(\beta - \frac{1 - \cos \beta}{\beta}\right).$
$z = \frac{4}{3\pi} r.$	<p>Zur polaren Achse C: $J_c = \frac{\mu}{2} r^2 = \frac{\pi}{4} r^4$.</p> <p>Zur Polachse S: $J_s = \frac{\mu}{2} r^2 \left(1 - \frac{2}{\pi^2}\right) = 0,398 \mu r^2$</p> $= \frac{r^4}{4} \left(\pi - \frac{2}{\pi}\right) = 0,626 r^4.$ <p>Zu den äquatorialen Achsen XX und YY:</p> $J_x = J_y = \frac{\mu r^2}{4} = \frac{\pi}{8} r^4.$
$z = 0.$	<p>Zur Polachse C: $J_c = \frac{\mu}{2} r^2 = \frac{\pi}{2} r^4$.</p> <p>Zur Aequatorachse XX: $J_x = \frac{\mu}{4} r^2 = \frac{\pi}{4} r^4$.</p>
$z = \frac{4}{3} \frac{\sin \frac{\beta}{2}}{\beta} \frac{r_1^3 - r_2^3}{r_1^2 - r_2^2}$ $= \frac{\sin \frac{\beta}{2}}{\beta} r \left(2 + \frac{1}{6} \frac{b^2}{r^2}\right).$	<p>Zur polaren Achse C:</p> $J_c = \frac{\mu}{2} (r_1^2 + r_2^2) = \mu \left(r^2 + \frac{b^2}{4}\right)$ $= \frac{\beta}{4} (r_1^4 - r_2^4) = \frac{\beta}{4} (4 b r^3 + r b^3).$

Nro.	Form.	Flächeninhalt.
XVII. Kreisabschnitt.		$F = \frac{r^2}{2} (\beta - \sin \beta).$
XVIII. Parabel.		$F = \frac{2}{3} xy.$
XIX. Ellipse.		$F = a b \pi.$
XX. Dreieck.		$F = \frac{b h}{2}.$

Schwerpunktlage.

Trägheitsmomente.

$$z = \frac{s^3}{12F}$$

$$= \frac{4}{3} r \frac{\sin^3 \frac{\beta}{2}}{\beta - \sin \beta}.$$

Zur polaren Achse C :

$$J_c = \frac{r^4 \beta}{4} - \frac{1}{4} \left[s r^3 \cos^3 \beta + \frac{r s^3 \cos \beta}{12} \right]$$

$$= \frac{r^4}{4} \left[\beta - 2 \sin \beta \cos^3 \beta - \frac{2}{3} \cos \beta \sin^3 \beta \right].$$

$$z_1 = \frac{3}{5} x$$

$$z_2 = \frac{3}{8} y.$$

Zu den äquatorialen Achsen XX und YY :

$$J_x = \mu \frac{y^2}{5} = \frac{8}{15} xy^3$$

$$J_y = \frac{8}{35} \mu x^2 = \frac{32}{105} yx^3.$$

$$z = 0.$$

Zur Aequatorachse XX : $J_x = \frac{\pi}{4} b a^3$.Zur Polachse C : $J_c = \frac{\mu}{4} (a^2 + b^2) = \frac{\pi}{4} ab^3 \left(1 + \frac{b^2}{a^2} \right)$.

$$z = \frac{h}{3}.$$

$$J_x = \mu \frac{h^2}{6} = \frac{bh^3}{12}$$

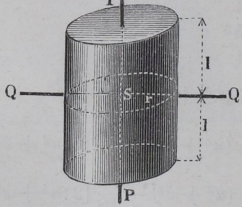
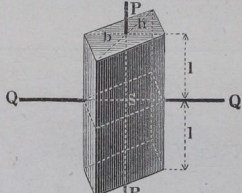
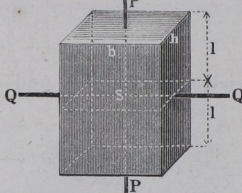
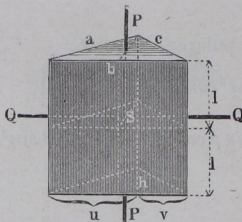
$$J_z = \mu \frac{h^2}{18} = \frac{bh^3}{36}$$

$$J_y = \mu \frac{h^2}{2} = \frac{bh^3}{4}$$

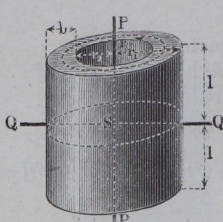
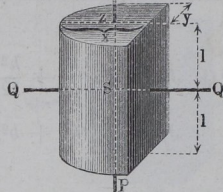
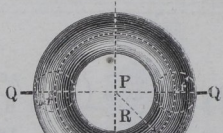
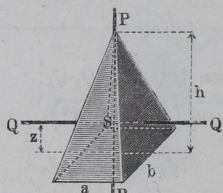
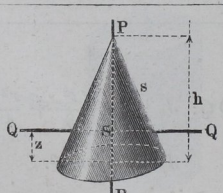
$$J_c = \frac{bh^3}{4} + \frac{h}{12} (u^3 + v^3)$$

$$J_b = \frac{bh^3}{12} + \frac{h}{4} (u^3 + v^3) - \frac{bh}{24} [8(u^2 + v^2) - 3b^2]$$

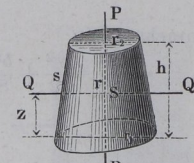
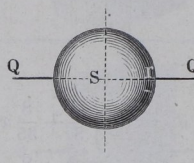
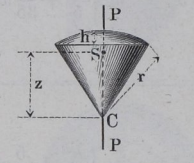
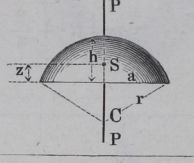
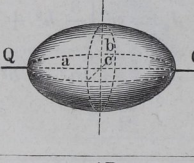
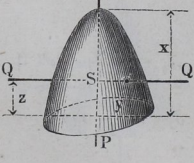
$$J_s = \frac{bh^3}{36} + \frac{h}{12} (u^3 + v^3) - \frac{bh}{18} [2(u^2 + v^2) - b^2].$$

Nro.	Form.	Oberfläche.
XV. Cylinder.		Umfäche: $F_1 = 4lr\pi$. Eine Endfläche: $F_2 = r^2\pi$.
XXXIV. Sechsseit. Prisma.		Umfäche: $F_1 = 12lr$. Eine Endfläche: $F_2 = \frac{3}{2}r^2\sqrt{3} = 2,598r^2$.
XXXIII. Rhombisches Prisma.		Umfäche: $F_1 = 8l\sqrt{h^2 + \frac{b^2}{4}}$. Eine Endfläche: $F_2 = bh$.
XII. Rechteckiges Prisma.		Umfäche: $F_1 = 4l(a+b)$. Eine Endfläche: $F_2 = ab$.
XXI. Dreiseitiges Prisma.		Umfäche: $F_1 = 2l(a+b+c)$. Eine Endfläche: $F_2 = \frac{bh}{2}$.

Inhalt.	Trägheitsmomente.
$V = bhl$.	<p>Zur Aequatorachse QQ: $J_q = m \left[\frac{l^2}{3} + \frac{h^2}{18} \right] = \frac{bh l^3}{3} + \frac{bl h^3}{81}$.</p> <p>Zur Polachse PP:</p> $J_p = l \left[\frac{b h^3}{18} + \frac{h}{6} (u^3 + v^3) - \frac{b h}{9} (2[u^2 + v^2] - b^2) \right].$
$V = 2bhl$.	<p>Zur Aequatorachse QQ: $J_q = m \left(\frac{l^2}{3} + \frac{h^2}{12} \right)$.</p> <p>Zur Polachse PP: $J_p = \frac{m}{12} (h^2 + b^2)$.</p>
$V = 2bhl$.	<p>Zur Aequatorachse QQ: $J_q = m \left(\frac{l^2}{3} + \frac{h^2}{6} \right)$.</p> <p>Zur Polachse PP: $J_p = m \left(\frac{h^2}{6} + \frac{b^2}{24} \right)$.</p>
$V = 3lr^2\sqrt{3} = 5,196lr^2$.	<p>Zu den Aequatorachsen QQ und $Q_1 Q_1$:</p> $J_q = J_{q1} = m \left(\frac{l^2}{3} + \frac{5}{24} r^2 \right).$ <p>Zur Polachse PP: $J_p = \frac{5}{12} mr^2$.</p>
$V = 2\pi lr^2$.	<p>Zur Aequatorachse QQ: $J_q = m \left(\frac{l^2}{3} + \frac{r^2}{4} \right)$.</p> <p>Zur Polachse PP: $J_p = \frac{1}{2} mr^2$.</p>

Nro.	Form.	Oberfläche.	Inhalt.
XXVI. Hohlcylinder.		<p>Umfläche: $F_1 = 4\pi l(r_1 + r_2) = 8\pi lr.$</p> <p>Eine Endfläche: $F_2 = \pi(r_1^2 - r_2^2) = 2\pi r b.$</p>	$V = 2\pi l(r_1^2 - r_2^2)$ $= 4\pi r bl.$
XXVII. Parabolisches Prisma.		<p>Eine Endfläche: $F_2 = \frac{4}{3}xy.$</p>	$V = \frac{8}{3}lx y.$
XXVIII. Cylindrischer Ring.		$F = 4\pi^2 R r.$	$V = 2\pi^2 R r^2.$
XXIX. Rechteckige Pyramide.		<p>Umfläche: $F_1 = a\sqrt{h^2 + \frac{b^2}{4}}$ $+ b\sqrt{h^2 + \frac{a^2}{4}}.$</p> <p>Endfläche: $F_2 = ab.$</p>	$V = F_2 \frac{h}{3} = \frac{ab h}{3}.$
XXX. Normalkegel.		<p>Umfläche: $F_1 = r\pi\sqrt{h^2 + r^2} = sr\pi.$</p> <p>Endfläche: $F_2 = r^2\pi.$</p>	$V = \frac{\pi r^2 h}{3}.$

Schwerpunktlage.	Trägheitsmomente.
Mitte der Figur. $z = \frac{3}{5} x.$	Zur Aequatorachse $Q Q$: $J_q = m \left[\frac{l^2}{3} + \frac{r_1^2 + r_2^2}{4} \right] = m \left[\frac{l^2}{3} + \frac{r^2}{2} + \frac{b^2}{8} \right].$ Zur Polachse PP : $J_p = \frac{m}{2} [r_1^2 + r_2^2] = m \left[r^2 + \frac{b^2}{4} \right].$
Mitte der Figur. $z = \frac{h}{4}.$	Zur Aequatorachse $Q Q$: $J_q = m \left[\frac{l^2}{3} + \frac{8}{35} x^2 \right].$ Zur Polachse PP : $J_p = m \left[\frac{y^2}{5} + \frac{8}{35} x^2 \right].$
Für den Mantel allein ist: $z' = \frac{h}{3}.$	Zur Aequatorachse $Q Q$: $J_q = m \left[\frac{3}{80} h^2 + \frac{b^2}{20} \right].$ Zur Polachse PP : $J_p = \frac{m}{20} [a^2 + b^2].$
	Zur Aequatorachse $Q Q$: $J_q = \frac{3}{20} m \left[r^2 + \frac{h^2}{4} \right].$ Zur Polachse PP : $J_p = \frac{3}{10} m r^2.$

Nro.	Form.	Oberfläche.	Inhalt.
XXXVI. Drehungsparaboloid.	 XXXV. Ellipsoid. XXXIV. Kugelausschnitt.	Umfäche: $F_1 = \pi (r_1 + r_2) \sqrt{h^2 - (r_1 - r_2)^2}$ $= 2\pi r s.$ Endflächen: $F_2' = r_1^2 \pi, F_2'' = r_2^2 \pi.$	$V = \frac{\pi}{3} h [r_1^2 + r_1 r_2 + r_2^2].$
		$F = 4r^2 \pi.$	$V = \frac{4}{3} \pi r^3.$
		Umfäche: $F_1 = 2\pi r h = \pi (a^2 + h^2).$ Endfläche: $F_2 = a^2 \pi, r = \frac{a^2 + h^2}{2h}.$	$V = \pi h^2 \left(r - \frac{h}{3}\right)$ $= \frac{\pi}{6} h (3a^2 + h^2).$
		Kegelmantel: $F_1 = a\pi r$ $= \pi r \sqrt{2rh - h^2}.$	$V = \frac{2}{3} \pi r^2 h.$
		—	$V = \frac{4}{3} \pi a b c.$
		Endfläche: $F_2 = y^2 \pi.$	$V = \frac{\pi}{2} x y^2.$

Schwerpunktlage.	Trägheitsmomente.
$z = \frac{h}{4} \left(\frac{r_1^2 + 2 r_1 r_2 + 3 r_2^2}{r_1^2 + r_1 r_2 + r_2^2} \right)$.	Zur Polachse PP : $J_p = \frac{3}{10} m \frac{r_1^5 - r_2^5}{r_1^3 - r_2^3}$.
Mitte der Figur.	Zur Aequatorachse QQ : $J_q = \frac{2}{5} m r^2$.
$z = \frac{3}{4} \frac{(2r - h)^2}{3r - h}$. Für den Mantel allein: $z' = \frac{h}{2}$.	Zur Polachse PP : $J_p = m \left[r^2 - \frac{3}{4} rh + \frac{3}{20} h^2 \right] \frac{2h}{3r-h}$.
$z = \frac{3}{4} \left(r - \frac{h}{2} \right)$.	Zur Polachse PP : $J_p = \frac{m}{5} (3rh - h^2)$.
Mitte der Figur.	Zur Aequatorachse QQ , welche mit a zusammenfällt: $J_a = \frac{m}{5} (b^2 + c^2)$.
$z = \frac{x}{3}$.	Zur Aequatorachse QQ : $J_q = m \left(\frac{y^2}{6} + \frac{x^2}{18} \right)$. Zur Polachse PP : $J_p = \frac{m}{3} y^2$.

§. 246.

Trigonometrische Tafel.

Die folgende Tafel enthält in der gebräuchlichen Form zusammengestellt die Sinus, Cosinus, Tangenten und Cotangenten der Winkel von 1 bis 90° , von 10 zu 10 Minuten fortschreitend; abweichend von der gebräuchlichen Weise sind außerdem noch die Bogenlängen (für den Halbmesser 1) hinzugefügt. Zur Erleichterung für die Bestimmung der Bogenlängen grösserer Winkel sind auf jeder Seite unten noch mehrere oft gebrauchte Bogenlängen von ganz kleinen Winkeln und von solchen über 90° angegeben. — Die eingeschalteten Ziffern sind die Differenzen, welche in den betreffenden Gegenden der Tabelle herschen.

Winkel		arcus	sinus	cosinus	tang.	cotang.	arcus	Winkel	
Gr.	Min.							Gr.	Min.
0	0	0,0000	0,0000	1,0000	0,0000	∞	1,5708	90	0
	10	0,0029	0,0029	1,0000	0,0029	343,77	1,5679		50
	20	0,0058	0,0058	1,0000	0,0058	171,89	1,5650		40
	30	0,0087	0,0087	1,0000	0,0087	114,59	1,5621		30
	40	0,0116	0,0116	0,9999	0,0116	85,940	1,5592		20
	50	0,0145	0,0145	0,9999	0,0145	68,750	1,5563		10
			29	1	29	11,460			
1	0	0,0175	0,0175	0,9998	0,0175	57,290	1,5533	89	0
	10	0,0204	0,0204	0,9998	0,0204	49,104	1,5504		50
	20	0,0233	0,0233	0,9997	0,0233	42,964	1,5475		40
	30	0,0262	0,0262	0,9997	0,0262	38,188	1,5446		30
	40	0,0291	0,0291	0,9996	0,0291	34,368	1,5417		20
	50	0,0320	0,0320	0,9995	0,0320	31,242	1,5388		10
			29	1	29	2,606			
2	0	0,0349	0,0349	0,9994	0,0349	28,636	1,5359	88	0
	10	0,0378	0,0378	0,9993	0,0378	26,432	1,5330		50
	20	0,0407	0,0407	0,9992	0,0407	24,542	1,5301		40
	30	0,0436	0,0436	0,9990	0,0437	22,904	1,5271		30
	40	0,0465	0,0465	0,9989	0,0466	21,470	1,5243		20
	50	0,0495	0,0494	0,9988	0,0495	20,206	1,5213		10
			29	1	29	1,125			
3	0	0,0524	0,0523	0,9986	0,0524	19,081	1,5184	87	0
	Gr.	Min.							Gr.
Winkel		arcus	cosinus	sinus	cotang.	tang.	arcus	Winkel	
$ang.=0^\circ 1'$		$0^\circ 5'$	135°	180°	225°	270°	315°	360°	
$arc.=0,0003$		0,0015	2,3562	3,1416	3,9270	4,7124	5,4978	6,2832	

Winkel		arcus	sinus	cosinus	tang.	cotang.	arcus	Winkel	
Gr.	Min.							Gr.	Min.
3	0	0,0524	0,0523	0,9986	0,0524	19,081	1,5184	87	0
	10	0,0553	0,0552	0,9985	0,0553	18,075	1,5155		50
	20	0,0582	0,0581	0,9983	0,0582	17,169	1,5126		40
	30	0,0611	0,0610	0,9981	0,0612	16,350	1,5097		30
	40	0,0640	0,0640	0,9980	0,0641	15,605	1,5068		20
	50	0,0669	0,0669	0,9978	0,0670	14,924	1,5039		10
4			29		2	29	623		
	0	0,0698	0,0698	0,9976	0,0699	14,301	1,5010	86	0
	10	0,0727	0,0727	0,9974	0,0729	13,727	1,4981		50
	20	0,0756	0,0756	0,9971	0,0758	13,197	1,4951		40
	30	0,0785	0,0785	0,9969	0,0787	12,706	1,4923		30
	40	0,0814	0,0814	0,9967	0,0816	12,251	1,4893		20
5	50	0,0844	0,0843	0,9964	0,0846	11,826	1,4864	85	10
			29		2	29	396		
	0	0,0873	0,0872	0,9962	0,0875	11,430	1,4835		0
	10	0,0902	0,0901	0,9959	0,0904	11,059	1,4806		50
	20	0,0931	0,0929	0,9957	0,0934	10,712	1,4777		40
	30	0,0960	0,0958	0,9954	0,0963	10,385	1,4748		30
6	40	0,0989	0,0987	0,9951	0,0992	10,078	1,4719	84	20
	50	0,1018	0,1016	0,9948	0,1022	9,7882	1,4690		10
			29		3	29	2738		
	0	0,1047	0,1045	0,9945	0,1051	9,5144	1,4661		0
	10	0,1076	0,1074	0,9942	0,1080	9,2553	1,4632		50
	20	0,1105	0,1103	0,9939	0,1110	9,0098	1,4603		40
7	30	0,1134	0,1132	0,9936	0,1139	8,7769	1,4573	83	30
	40	0,1164	0,1161	0,9932	0,1169	8,5555	1,4544		20
	50	0,1193	0,1190	0,9929	0,1198	8,3450	1,4515		10
			29		4	29	2007		
	0	0,1222	0,1219	0,9925	0,1228	8,1443	1,4486		0
	10	0,1251	0,1248	0,9922	0,1257	7,9530	1,4457		50
8	20	0,1280	0,1276	0,9918	0,1287	7,7704	1,4428	82	40
	30	0,1309	0,1305	0,9914	0,1317	7,5958	1,4399		30
	40	0,1338	0,1334	0,9911	0,1346	7,4287	1,4370		20
	50	0,1367	0,1363	0,9907	0,1376	7,2687	1,4341		10
			29		4	29	1533		
	0	0,1396	0,1392	0,9903	0,1405	7,1154	1,4312		0
9	10	0,1425	0,1421	0,9899	0,1435	6,9682	1,4283	81	50
	20	0,1454	0,1449	0,9894	0,1465	6,8269	1,4254		40
	30	0,1484	0,1478	0,9890	0,1495	6,6912	1,4224		30
	40	0,1526	0,1507	0,9886	0,1524	6,5606	1,4195		20
	50	0,1542	0,1536	0,9881	0,1554	6,4348	1,4166		10
			28		4	30	1210		
Gr.	0	0,1571	0,1564	0,9877	0,1584	6,3183	1,4137	81	0
	Min.								Gr. Min.
Winkel		arcus	cosinus	sinus	cotang.	tang.	arcus	Winkel	
ang.= $0^{\circ} 1'$		$0^{\circ} 5'$	135°	180°	225°	270°	315°	360°	
arc. = 0,0003		0,0015	2,3562	3,1416	3,9270	4,7124	5,4978	6,2832	

Winkel		arcus	sinus	cosinus	tang.	cotang.	arcus	Winkel
Gr.	Min.							Gr. Min.
9	0	0,1571	0,1564	0,9877	0,1584	6,3138	1,4137	81 0
	10	0,1600	0,1593	0,9872	0,1614	6,1970	1,4108	50
	20	0,1629	0,1622	0,9868	0,1644	6,0844	1,4079	40
	30	0,1658	0,1650	0,9863	0,1673	5,9758	1,4050	30
	40	0,1687	0,1679	0,9858	0,1703	5,8708	1,4021	20
	50	0,1716	0,1708	0,9853	0,1733	5,7694	1,3992	10
			28	5	30	981		
10	0	0,1745	0,1736	0,9848	0,1763	5,6713	1,3963	80 0
	10	0,1774	0,1765	0,9843	0,1793	5,5764	1,3934	50
	20	0,1804	0,1794	0,9838	0,1823	5,4845	1,3904	40
	30	0,1833	0,1822	0,9833	0,1853	5,3955	1,3875	30
	40	0,1862	0,1851	0,9827	0,1883	5,3093	1,3846	20
	50	0,1891	0,1880	0,9822	0,1914	5,2257	1,3817	10
			28	6	30	811		
11	0	0,1920	0,1908	0,9816	0,1944	5,1446	1,3788	79 0
	10	0,1949	0,1937	0,9811	0,1974	5,0658	1,3759	50
	20	0,1978	0,1965	0,9805	0,2004	4,9894	1,3730	40
	30	0,2007	0,1994	0,9799	0,2035	4,9152	1,3701	30
	40	0,2036	0,2022	0,9793	0,2065	4,8430	1,3672	20
	50	0,2065	0,2051	0,9787	0,2095	4,7729	1,3643	10
			28	6	31	683		
12	0	0,2094	0,2079	0,9781	0,2126	4,7046	1,3614	78 0
	10	0,2123	0,2108	0,9775	0,2156	4,6382	1,3584	50
	20	0,2153	0,2136	0,9769	0,2186	4,5736	1,3555	40
	30	0,2182	0,2164	0,9763	0,2217	4,5107	1,3526	30
	40	0,2211	0,2193	0,9757	0,2247	4,4494	1,3497	20
	50	0,2240	0,2221	0,9750	0,2278	4,3897	1,3468	10
			28	6	31	582		
13	0	0,2269	0,2250	0,9744	0,2309	4,3315	1,3439	77 0
	10	0,2298	0,2278	0,9737	0,2339	4,2747	1,3410	50
	20	0,2327	0,2306	0,9730	0,2370	4,2193	1,3381	40
	30	0,2356	0,2334	0,9724	0,2401	4,1653	1,3352	30
	40	0,2385	0,2363	0,9717	0,2432	4,1126	1,3323	20
	50	0,2414	0,2391	0,9710	0,2462	4,0611	1,3294	10
			28	7	31	503		
14	0	0,2443	0,2419	0,9703	0,2493	4,0108	1,3264	73 0
	10	0,2473	0,2447	0,9696	0,2524	3,9617	1,3235	50
	20	0,2502	0,2476	0,9689	0,2555	3,9136	1,3206	40
	30	0,2531	0,2504	0,9681	0,2586	3,8667	1,3177	30
	40	0,2560	0,2532	0,9674	0,2617	3,8208	1,3148	20
	50	0,2589	0,2560	0,9667	0,2648	3,7760	1,3119	10
			28	7	31	439		
15	0	0,2618	0,2588	0,9659	0,2679	3,7321	1,3090	75 0
Gr.	Min.							Gr. Min.
Winkel		arcus	cosinus	sinus	cotang.	tang.	arcus	Winkel
<i>ang.=0° 1'</i>		0° 5'	135°	180°	225°	270°	315°	360°
<i>arc. = 0,0003</i>		0,0015	2,3562	3,1416	3,9270	4,7124	5,4978	6,2832

Winkel		arcus	sinus	cosinus	tang.	cotang.	arcus	Winkel	
Gr.	Min.							Gr.	Min.
15	0	0,2618	0,2588	0,9659	0,2679	3,7321	1,3090	75	0
	10	0,2647	0,2616	0,9652	0,2711	3,6891	1,3061		50
	20	0,2667	0,2644	0,9644	0,2742	3,6470	1,3032		40
	30	0,2705	0,2672	0,9636	0,2773	3,6059	1,3003		30
	40	0,2734	0,2700	0,9628	0,2805	3,5656	1,2974		20
	50	0,2763	0,2728	0,9621	0,2836	3,5261	1,2945		10
			28	8	31	387			
16	0	0,2793	0,2756	0,9613	0,2867	3,4874	1,2915	74	0
	10	0,2822	0,2784	0,9605	0,2899	3,4495	1,2886		50
	20	0,2851	0,2812	0,9596	0,2931	3,4124	1,2857		40
	30	0,2880	0,2840	0,9588	0,2962	3,3759	1,2823		30
	40	0,2909	0,2863	0,9580	0,2994	3,3402	1,2799		20
	50	0,2938	0,2896	0,9572	0,3026	3,3052	1,2770		10
			28	9	31	343			
17	0	0,2967	0,2924	0,9563	0,3057	3,2709	1,2741	73	0
	10	0,2996	0,2952	0,9555	0,3089	3,2371	1,2712		50
	20	0,3025	0,2979	0,9546	0,3121	3,2041	1,2683		40
	30	0,3054	0,3007	0,9537	0,3153	3,1716	1,2654		30
	40	0,3083	0,3035	0,9528	0,3185	3,1397	1,2625		20
	50	0,3113	0,3062	0,9520	0,3217	3,1084	1,2595		10
			28	9	32	307			
18	0	0,3142	0,3090	0,9511	0,3249	3,0777	1,2566	72	0
	10	0,3171	0,3118	0,9502	0,3281	3,0475	1,2537		50
	20	0,3200	0,3145	0,9492	0,3314	3,0178	1,2508		40
	30	0,3229	0,3173	0,9483	0,3346	2,9887	1,2479		30
	40	0,3258	0,3201	0,9474	0,3378	2,9600	1,2450		20
	50	0,3287	0,3228	0,9465	0,3411	2,9319	1,2421		10
			27	10	32	277			
19	0	0,3316	0,3256	0,9455	0,3443	2,9042	1,2392	71	0
	10	0,3345	0,3283	0,9446	0,3476	2,8770	1,2363		50
	20	0,3374	0,3311	0,9436	0,3508	2,8502	1,2334		40
	30	0,3403	0,3338	0,9426	0,3541	2,8239	1,2305		30
	40	0,3432	0,3365	0,9417	0,3574	2,7980	1,2275		20
	50	0,3462	0,3393	0,9407	0,3607	2,7725	1,2246		10
			27	10	33	250			
20	0	0,3491	0,3420	0,9397	0,3640	2,7475	1,2217	70	0
	10	0,3520	0,3448	0,9387	0,3673	2,7223	1,2188		50
	20	0,3549	0,3475	0,9377	0,3706	2,6985	1,2159		40
	30	0,3578	0,3502	0,9367	0,3739	2,6746	1,2130		30
	40	0,3607	0,3529	0,9356	0,3772	2,6511	1,2101		20
	50	0,3636	0,3557	0,9346	0,3805	2,6279	1,2072		10
			27	10	34	228			
21	0	0,3665	0,3584	0,9336	0,3839	2,6051	1,2043	69	0
Gr.	Min.							Gr.	Min.
Winkel		arcus	cosinus	sinus	cotang.	tang.	arcus	Winkel	
$\text{ang.} = 0^\circ 1'$		$0^\circ 5'$	135°	180°	225°	270°	315°	360°	
$\text{arc.} = 0,0003$		0,0015	2,3562	3,1416	3,9270	4,7124	5,4978	6,2832	

Winkel		arcus	sinus	cosinus	tang.	cotang.	arcus	Winkel	
Gr.	Min.							Gr.	Min.
21	0	0,3665	0,3584	0,9336	0,3839	2,6051	1,2043	69	0
	10	0,3694	0,3611	0,9325	0,3872	2,5826	1,2014		50
	20	0,3723	0,3638	0,9315	0,3906	2,5605	1,1985		40
	30	0,3752	0,3665	0,9304	0,3939	2,5386	1,1955		30
	40	0,3782	0,3692	0,9293	0,3973	2,5172	1,1926		20
	50	0,3811	0,3719	0,9283	0,4006	2,4960	1,1897		10
			27	11	34	209			
22	0	0,3840	0,3746	0,9272	0,4040	2,4751	1,1868	68	0
	10	0,3869	0,3773	0,9261	0,4074	2,4545	1,1839		50
	20	0,3898	0,3800	0,9250	0,4108	2,4342	1,1810		40
	30	0,3927	0,3827	0,9239	0,4142	2,4142	1,1781		30
	40	0,3956	0,3854	0,9228	0,4176	2,3945	1,1752		20
	50	0,3985	0,3881	0,9216	0,4210	2,3750	1,1723		10
			27	11	35	191			
23	0	0,4014	0,3907	0,9205	0,4245	2,3559	1,1694	67	0
	10	0,4043	0,3934	0,9194	0,4279	2,3369	1,1664		50
	20	0,4072	0,3961	0,9182	0,4314	2,3183	1,1636		40
	30	0,4102	0,3987	0,9171	0,4348	2,2998	1,1606		30
	40	0,4131	0,4014	0,9159	0,4383	2,2817	1,1577		20
	50	0,4160	0,4041	0,9147	0,4417	2,2637	1,1548		10
			26	12	35	177			
24	0	0,4189	0,4067	0,9135	0,4452	2,2460	1,1519	66	0
	10	0,4218	0,4094	0,9124	0,4487	2,2286	1,1490		50
	20	0,4247	0,4120	0,9112	0,4522	2,2113	1,1461		40
	30	0,4276	0,4147	0,9100	0,4557	2,1943	1,1432		30
	40	0,4305	0,4173	0,9088	0,4592	2,1775	1,1403		20
	50	0,4334	0,4200	0,9075	0,4628	2,1609	1,1374		10
			26	12	35	164			
25	0	0,4363	0,4226	0,9063	0,4663	2,1445	1,1345	65	0
	10	0,4392	0,4253	0,9051	0,4699	2,1283	1,1316		50
	20	0,4421	0,4279	0,9038	0,4734	2,1123	1,1286		40
	30	0,4451	0,4305	0,9026	0,4770	2,0965	1,1257		30
	40	0,4480	0,4331	0,9013	0,4806	2,0809	1,1228		20
	50	0,4509	0,4358	0,9001	0,4841	2,0655	1,1199		10
			26	13	36	152			
26	0	0,4538	0,4384	0,8988	0,4877	2,0503	1,1170	64	0
	10	0,4567	0,4410	0,8975	0,4913	2,0353	1,1141		50
	20	0,4596	0,4436	0,8962	0,4950	2,0204	1,1112		40
	30	0,4625	0,4462	0,8949	0,4986	2,0057	1,1082		30
	40	0,4654	0,4488	0,8936	0,5022	1,9912	1,1054		20
	50	0,4683	0,4514	0,8923	0,5059	1,9768	1,1025		10
			26	13	36	142			
27	0	0,4712	0,4540	0,8910	0,5095	1,9626	1,0996	63	0
	Gr.	Min.							Gr. Min.
Winkel.		arcus	cosinus	sinus	cotang.	tang.	arcus	Winkel	
<i>ang.=</i> 0° 1'		0° 5'	135°	180°	225°	270°	315°	360°	
<i>arc.</i> =0,0008		0,0015	2,3562	3,1416	3,9270	4,7124	5,4978	6,2823	

Winkel		arcus	sinus	cosinus	tang.	cotang.	arcus	Winkel	
Gr.	Min.							Gr.	Min.
27	0	0,4712	0,4540	0,8910	0,5095	1,9626	1,0996	63	0
	10	0,4741	0,4566	0,8897	0,5132	1,9486	1,0966		50
	20	0,4771	0,4592	0,8884	0,5169	1,9347	1,0937		40
	30	0,4800	0,4617	0,8870	0,5206	1,9210	1,0908		30
	40	0,4829	0,4643	0,8857	0,5243	1,9074	1,0879		20
	50	0,4858	0,4669	0,8843	0,5280	1,8940	1,0850		10
			26	14	37	133			
28	0	0,4887	0,4695	0,8829	0,5317	1,8807	1,0821	62	0
	10	0,4916	0,4720	0,8816	0,5354	1,8676	1,0792		50
	20	0,4945	0,4746	0,8802	0,5392	1,8546	1,0763		40
	30	0,4974	0,4772	0,8788	0,5430	1,8418	1,0734		30
	40	0,5003	0,4797	0,8774	0,5467	1,8291	1,0705		20
	50	0,5032	0,4823	0,8760	0,5505	1,8165	1,0676		10
			25	14	38	125			
29	0	0,5061	0,4848	0,8746	0,5543	1,8040	1,0647	61	0
	10	0,5091	0,4874	0,8732	0,5581	1,7917	1,0617		50
	20	0,5120	0,4899	0,8718	0,5619	1,7796	1,0588		40
	30	0,5149	0,4924	0,8704	0,5658	1,7675	1,0559		30
	40	0,5178	0,4950	0,8689	0,5696	1,7556	1,0530		20
	50	0,5207	0,4975	0,8675	0,5735	1,7437	1,0501		10
			25	15	39	116			
30	0	0,5236	0,5000	0,8660	0,5774	1,7321	1,0472	60	0
	10	0,5265	0,5025	0,8646	0,5812	1,7205	1,0443		50
	20	0,5294	0,5050	0,8631	0,5851	1,7090	1,0414		40
	30	0,5323	0,5075	0,8616	0,5890	1,6977	1,0385		30
	40	0,5352	0,5100	0,8601	0,5930	1,6864	1,0356		20
	50	0,5381	0,5125	0,8587	0,5969	1,6753	1,0326		10
			25	15	40	110			
31	0	0,5411	0,5150	0,8572	0,6009	1,6643	1,0297	59	0
	10	0,5440	0,5175	0,8557	0,6048	1,6534	1,0268		50
	20	0,5469	0,5200	0,8542	0,6088	1,6426	1,0239		40
	30	0,5498	0,5225	0,8526	0,6128	1,6319	1,0210		30
	40	0,5527	0,5250	0,8511	0,6168	1,6212	1,0181		20
	50	0,5556	0,5275	0,8496	0,6208	1,6107	1,0152		10
			25	16	41	104			
32	0	0,5585	0,5299	0,8480	0,6249	1,6003	1,0123	58	0
	10	0,5614	0,5324	0,8465	0,6289	1,5900	1,0094		50
	20	0,5643	0,5348	0,8450	0,6330	1,5798	1,0065		40
	30	0,5672	0,5373	0,8434	0,6371	1,5697	1,0036		30
	40	0,5701	0,5398	0,8418	0,6412	1,5597	1,0007		20
	50	0,5730	0,5422	0,8403	0,6453	1,5497	0,9977		10
			24	16	41	98			
33	0	0,5760	0,5446	0,8387	0,6494	1,5399	0,9948	57	0
	Gr. Min.								Gr. Min.
Winkel		arcus	cosinus	sinus	cotang.	tang.	arcus	Winkel	
ang. = 0° 1'		0° 5'	135°	180°	225°	270°	315°	360°	
arc. = 0,0003		0,0015	2,3562	3,1416	3,9270	4,7124	5,4978	6,2882	

Winkel		arcus	sinus	cosinus	tang.	cotang.	arcus	Winkel
Gr.	Min.							Gr. Min.
33	0	0,5760	0,5446	0,8387	0,6494	1,5399	0,9948	57 0
	10	0,5787	0,5471	0,8371	0,6536	1,5301	0,9919	50
	20	0,5818	0,5495	0,8355	0,6577	1,5204	0,9890	40
	30	0,5847	0,5519	0,8339	0,6619	1,5108	0,9861	30
	40	0,5876	0,5544	0,8323	0,6661	1,5013	0,9832	20
	50	0,5905	0,5568	0,8307	0,6703	1,4919	0,9803	10
34			24	17	42	93		
	0	0,5934	0,5592	0,8290	0,6745	1,4826	0,9774	56 0
	10	0,5963	0,5616	0,8274	0,6787	1,4733	0,9745	50
	20	0,5992	0,5640	0,8258	0,6830	1,4641	0,9716	40
	30	0,6021	0,5664	0,8241	0,6873	1,4550	0,9687	30
	40	0,6050	0,5688	0,8225	0,6916	1,4460	0,9657	20
35	50	0,6080	0,5712	0,8208	0,6959	1,4370	0,9628	10
			24	17	43	89		
	0	0,6109	0,5736	0,8192	0,7002	1,4281	0,9599	55 0
	10	0,6138	0,5760	0,8175	0,7046	1,4193	0,9570	50
	20	0,6167	0,5783	0,8158	0,7089	1,4106	0,9541	40
	30	0,6196	0,5807	0,8141	0,7133	1,4019	0,9512	30
36	40	0,6225	0,5831	0,8124	0,7177	1,3934	0,9483	20
	50	0,6254	0,5854	0,8107	0,7221	1,3848	0,9454	10
			24	17	44	84		
	0	0,6283	0,5878	0,8090	0,7265	1,3764	0,9425	54 0
	10	0,6312	0,5901	0,8073	0,7310	1,3680	0,9396	50
	20	0,6341	0,5925	0,8056	0,7355	1,3597	0,9367	40
37	30	0,6370	0,5948	0,8039	0,7400	1,3514	0,9338	30
	40	0,6400	0,5972	0,8021	0,7445	1,3432	0,9308	20
	50	0,6429	0,5995	0,8004	0,7490	1,3351	0,9279	10
			23	18	46	81		
	0	0,6458	0,6018	0,7986	0,7536	1,3270	0,9250	53 0
	10	0,6487	0,6041	0,7969	0,7581	1,3190	0,9221	50
38	20	0,6516	0,6065	0,7951	0,7627	1,3111	0,9192	40
	30	0,6545	0,6088	0,7934	0,7673	1,3032	0,9163	30
	40	0,6574	0,6111	0,7916	0,7720	1,2954	0,9134	20
	50	0,6603	0,6134	0,7898	0,7766	1,2876	0,9105	10
			23	18	47	77		
	0	0,6632	0,6157	0,7880	0,7813	1,2799	0,9076	52 0
39	10	0,6661	0,6180	0,7862	0,7860	1,2723	0,9047	50
	20	0,6690	0,6202	0,7844	0,7907	1,2647	0,9018	40
	30	0,6720	0,6225	0,7826	0,7954	1,2572	0,8988	30
	40	0,6749	0,6248	0,7808	0,8002	1,2497	0,8959	20
	50	0,6778	0,6271	0,7790	0,8050	1,2423	0,8930	10
			23	19	48	74		
0	0,6807	0,6293	0,7771	0,8098	1,2349	0,8901	51 0	
Gr.	Min.							Gr. Min.
Winkel		arcus	cosinus	sinus.	cotang.	tang.	arcus	Winkel
<i>ang.=0° 1'</i>		0° 5'	135°	180°	225°	270°	315°	360°
<i>arc. = 0,0003</i>		0,0015	2,3562	3,1416	3,9270	4,7124	5,4978	6,2832

Winkel		arcus	sinus	cosinus	tang.	cotang.	arcus	Winkel		
Gr.	Min.							Gr.	Min.	
39	0	0,6807	0,6293	0,7771	0,8098	1,2349	0,8901	51	0	
	10	0,6836	0,6316	0,7753	0,8146	1,2276	0,8872		50	
	20	0,6865	0,6338	0,7735	0,8195	1,2203	0,8843		40	
	30	0,6894	0,6361	0,7716	0,8243	1,2131	0,8814		30	
	40	0,6923	0,6383	0,7698	0,8292	1,2059	0,8785		20	
	50	0,6952	0,6406	0,7679	0,8342	1,1988	0,8756		10	
40			22	19	49	70				
	0	0,6981	0,6428	0,7660	0,8391	1,1918	0,8727	50	0	
	10	0,7010	0,6450	0,7642	0,8441	1,1847	0,8698		50	
	20	0,7039	0,6472	0,7623	0,8491	1,1778	0,8668		40	
	30	0,7069	0,6494	0,7604	0,8541	1,1708	0,8639		30	
	40	0,7098	0,6517	0,7585	0,8591	1,1640	0,8610		20	
41			22	19	51	67				
	0	0,7156	0,6561	0,7547	0,8693	1,1504	0,8552	49	0	
	10	0,7185	0,6583	0,7528	0,8744	1,1436	0,8523		50	
	20	0,7214	0,6604	0,7509	0,8796	1,1369	0,8494		40	
	30	0,7243	0,6626	0,7490	0,8847	1,1303	0,8465		30	
	40	0,7272	0,6648	0,7470	0,8899	1,1237	0,8436		20	
42			21	20	52	65				
	0	0,7330	0,6691	0,7431	0,9004	1,1106	0,8378	48	0	
	10	0,7359	0,6713	0,7412	0,9057	1,1041	0,8348		50	
	20	0,7389	0,6734	0,7392	0,9110	1,0977	0,8319		40	
	30	0,7418	0,6756	0,7373	0,9163	1,0913	0,8290		30	
	40	0,7447	0,6777	0,7353	0,9217	1,0850	0,8261		20	
43			21	20	54	62				
	0	0,7505	0,6820	0,7314	0,9325	1,0724	0,8203	47	0	
	10	0,7534	0,6841	0,7294	0,9380	1,0661	0,8174		50	
	20	0,7563	0,6862	0,7274	0,9435	1,0599	0,8145		40	
	30	0,7592	0,6884	0,7254	0,9490	1,0538	0,8116		30	
	40	0,7621	0,6905	0,7234	0,9545	1,0477	0,8087		20	
44			21	21	56	61				
	0	0,7679	0,6947	0,7193	0,9657	1,0355	0,8029	46	0	
	10	0,7709	0,6967	0,7173	0,9713	1,0295	0,7999		50	
	20	0,7738	0,6988	0,7153	0,9770	1,0235	0,7970		40	
	30	0,7767	0,7009	0,7133	0,9827	1,0176	0,7941		30	
	40	0,7795	0,7030	0,7112	0,9884	1,0117	0,7912		20	
45	0	0,7824	0,7050	0,7092	0,9942	1,0058	0,7883	45	0	
			21	21	58	58				
	Gr.	Min.	0,7854	0,7071	0,7071	1,0000	1,0000		Gr.	
							0,7854		Min.	
	Winkel		arcus	cosinus	sinus	cotang.	tang.	arcus	Winkel	
	ang. = $0^{\circ} 1'$		$0^{\circ} 5'$	135°	180°	225°	270°	315°	360°	
arc. = 0,0003		0,0015	2,3562	3,1416	3,9270	4,7124	5,4978		6,2832	

§. 247.

Formeln - Tafel.

Die nachstehende Tafel enthält für die wichtigsten Formeln dieses Buches die vom Maassystem abhängigen constanten Coëfficienten, welche bei Rechnungen in preussischem und österreichischem Maass zu gebrauchen sind. Als Einheiten dienen: der preussische Zoll = $\frac{1}{12}$ preussische Fuss = $\frac{1}{12} \cdot 313,85\text{mm}$ = $26,15\text{mm}$, und das neue preussische oder Zollpfund = $\frac{1}{2}$ Kilogramm; sodann der österreichische Zoll = $\frac{1}{12}$ österreichische Fuss = $\frac{1}{12} \cdot 316,11\text{mm}$ = $26,34\text{mm}$, und wiederum das Zollpfund. Die geringen Unterschiede zwischen den Coëfficienten für preussisches und österreichisches Maass zeigen recht schlagnend, wie zwecklos das längere Beibehalten eines Unterschiedes überhaupt gewesen ist. Einzelne Formeln mit Additions-Constanthen in Millimetern wurden nicht mit umgewandelt, da hierbei der Maasstab einfacher zum Ziele führt. Auch bedurften eine Menge Formeln [wie (53), (54), (84), bis (102) u. s. f.] von Haüs aus keiner Umrechnung, da sie reine Verhältnisse angeben, also für jedes Maassystem gelten. Formeln dieser Art sind offenbar die allerzweckmässigsten für Constructionsregeln, und wurden deshalb in diesem Werke, wo es anging, anders gebildeten Formeln vorgezogen.

Bemerkung. Der preussische Fuss ist wie oben angegeben $313,85\text{mm}$ lang. Dieser Zahluwerth stimmt so nahe mit der Zahl 100π überein, dass man für unsere gewöhnlichen Messungen den kleinen Unterschied (nicht ganz ein Tausendtel) vernachlässigen darf, und demnach jede Kreistafel zur Verwandlung von preuss. Maass in Meter benutzen kann. Die Zahlen, wie sie in der Kreistafel stehen, geben in Decimetern (also nach Versetzung des Kommas um weitere zwei Stellen in Millimetern) den Werth, welcher der Zahl des Tabelleneinganges als preuss. Fusse angesehen entspricht. So schlägt man z. B. zum Durchmesser 171 die Zahl 537,21 auf; man hat also mit genügender Annäherung 17,1 pr. Fuss = $5,372\text{m}$; genau wäre $17,1' = 5,367\text{m}$, welche Zahl durch die Subtraction von $\frac{1}{1000}$ (5mm) genau erzielt würde.

In Formel	lautet der Coefficient	für preuss. Maass (Zoll und Pfund)	für österr. Maass (Zoll und Pfund)
S c h r a u b e n .			
(31)	2,2	3009	3053
(32)	0,67	0,0181	0,0180
(38) {	4,71	6442	6536
(41)	0,46	0,0124	0,0123
(42)	0,636	0,000465	0,000458
	7 4,48	0,00512 0,00328	0,00504 0,00323
Z a p f e n .			
(57)	9/8	0,0304	0,0302
(59)	0,32	0,0086	0,0086
(61)	0,95	0,0257	0,0255
(62)	0,28	0,0076	0,0075
(63)	1,5	0,0405	0,0403
(65)	1,2	0,0324	0,0322
(67)	1	0,0270	0,0268
(68)	4/3	0,0368	0,0358
(69) {	0,82 0,71 0,58 0,47 0,16 1,00 0,82 0,67	0,0222 0,0192 0,0157 0,0127 0,0814 0,0270 0,0222 0,0181	0,0220 0,0195 0,0156 0,0126 0,0311 0,0268 0,0220 0,0180
(79)	0,17	0,0046	0,0046
(80)	0,09	0,0024	0,0024
(81)	0,16 *)	0,0896	0,0899
(82)	1,2	0,234	0,234
(83)	0,04	0,00096	0,00096
W e l l e n **).			
(105)	1,0 90	0,0901 3,438	0,0897 3,418
(106)	4,13 120	0,3003 4,589	0,2987 4,556
(107)	1,26 113	0,1135 4,321	0,1130 4,290
(108)	4,90 143	0,3563 5,463	0,3544 5,430
(110)	1,17 105	0,1054 4,011	0,1049 3,987
(111)	1,47 132	0,1189 5,042	0,1183 5,012
R i e m s c h e i b e n **).			
(126)	18	0,486	0,483
(127)	15250	114,04	112,81
(128)	156	10,92	12,00
(129)	6,87	0,95	0,95
(130)	615	23,49	23,35
(137) {	0,54 457 0,46 41,11	0,0146 12,36 0,0414 3,704	0,0145 12,27 0,0413 3,690
(143)	1,0	0,0358	0,0365

*) Hier gilt ausnahmsweise L in Fussen.

**) Die Geschwindigkeit v in Fussen, die Pferdestärke zu 480 Secundenfusspfund in beiden Maassystemen angenommen.

In Formel	lautet der Coëfficient	für preuss. Maass (Zoll und Pfund)	für österr. Maass (Zoll und Pfund)
Drahtseiltrieb*).			
(147)	1,60	41,84	42,144
(148)	13,86	362,44	365,07
(149)	1349	35,276	35,532
(150)	0,0634	0,00571	0,00569
(151)	5,67	0,5108	0,5089
(152)	10000	13680000	13875000
(153)	160	0,374 **)	0,365 **)
(154)	0,00877	0,376 **)	3,85 **)
(155)	1/900	0,48	0,49
(163)	114	0,266	0,260
(164)	0,00877	0,376 **)	3,85 **)
(168)	10000 18	13680000 24600	13875000 25000
(169)	{ 1,0	0,0358	0,0365
(170)			
Zahnräder.			
(180)	16,8	23000	23300
(181)	2,11 0,67	0,1901 0,0604	0,1892 0,0601
(182)	1,23 0,39	0,0333 0,0106	0,0330 0,0105
(184)	188 60	7,189 2,295	7,134 2,278
(185)	1040 331	7,777 2,475	7,693 2,449
(187)	60 19,3	2,295 0,738	2,278 0,733
(188)	2,1 0,66	0,1527 0,0480	0,1519 0,0477
(189)	1,42 0,45	0,0431 0,0137	0,0428 0,0136
(190)	0,01	0,0794	0,0794
(191)	8,5	1,662	1,656
(192)	21,2 12	4,146 2,345	4,131 2,338
(193)	0,025 0,014	0,0177 0,0099	0,0177 0,0099
(196)	1/3 1/4	0,56 0,75	0,56 0,75
(198)	1,0	0,0358	0,0365
Hebel.			
(201)	3,85	1,703	1,700
(203)	4,56	2,017	2,013

*) Die Geschwindigkeit v in Fussen, die Pferdestärke zu 480 Sekundenfusspfund in beiden Maassystemen angenommen.

**) A und h in Fussen angenommen.

In Formel	lautet der Coëfficient	für preuss. Maass (Zoll und Pfund)		für österr. Maass (Zoll und Pfund)	
Ventile.					
(251) {	4 1	0,15	0,196	0,15	0,195
(253) {					
Seile und Ketten.					
(267)	1,2 3,42	0,0324	0,0925	0,0324	0,0918
(268)	0,7 0,085	957,4	116,25	972,0	118,03
(269)	1 2,85	0,0270	0,0771	0,0268	0,0765
(270)	1 8,125	1367,7	170,96	1386,6	173,57
(271)	0,00071	0,304*)		0,311 *)	
(272)	0,00106	0,455*)		0,465 *)	
(273)	1000	3200**)		3200**)	
(274)	3/8	0,0101		0,0101	
(275)	7,11	9724		9873	
(276)	1/16	0,0017		0,0017	
(277)	256	350118		355479	
(279)	0,007	3,005*)		3,070*)	
(280)	1/4	107,3*)		109,66*)	
(281)	1000	3200**)		3200**)	
(282)	0,326 9,42	0,0088	12883	0,0088	13081
(283)	0,27 14,14	0,0073	19339	0,0072	19635
(284)	0,196 26	0,0530	35559	0,0526	36054
(285)	0,5 4	0,0135	5471	0,0134	5546
(286)	0,35 8,35	0,0095	11419	0,0094	11579
(287)	1/3	0,265		0,265	
(292)	0,0226	9,701*)		9,914*)	
(293)	0,0190	8,155*)		8,354*)	
(294)	0,0235	10,087*)		10,308*)	
(295)	0,67	0,0181		0,0180	

*) Das Gewicht gilt pro laufenden Fuss.

**) Abgerundet.